

電磁誘導型流速計による方向スペクトルについて

愛媛大学工学部 正員 神沼忠男
 愛媛大学工学部 正員 伊福誠
 三井不動産建設(株) 正員 ○丸岡貞典
 東洋建設(株) 正員 藤原隆一

1. まえがき

海岸構造物を計画・設計する際、波高、周期とともに波向を適確に把握する必要がある。波向は、一般に波峰線に直角であるとされますが、不規則波を無限個の正弦波の波の重ね合わせと考える場合、各成分波のエネルギーおよび進行方向は異なることが考えられます。海岸波浪の特性がほぼ、線型理論によって説明可能な比較的深い領域での方向スペクトルについての研究はなされてはいるが、物理特性が明確でない碎波帯での研究はない。こうしたことから、図-1に示すように平均水深1.5mの地点に設置した圧力計内蔵の2台の電磁誘導型流速計で得た流速資料および波浪資料とともに方向スペクトルを求めた。

なお、方向スペクトルの算出法としては、Fourier級数法を用い、0.024～0.464Hzまでの周波数帯について解析した。

図-2は、津側および岸側の圧力波形、岸沖、沿岸および斜直方向の流速波形を示したものである。

2. 解析結果

エネルギーースペクトルのモーメント $N_{pg}(\sigma)$ は、式(1)で定義される。

$$N_{pg}(\sigma) = \int_{-\pi}^{\pi} l^{\sigma} m^{\sigma} S(\sigma, \theta) d\theta \quad (1)$$

ここで $l = K \cos \theta$, $m = K \sin \theta$, K : 波数, $S(\sigma, \theta)$: 方向スペクトル, $\sigma, l, m = (0, 1, 2, \dots)$ である。

式(1)のモーメントより、式(2)で得られる流れの principal direction について示したのが図-3(a), (b)である。

$$\theta_0 = \frac{1}{2} \tan^{-1} \left(\frac{2N_{11}}{N_{20} - N_{02}} \right) \quad (2)$$

(a) および(b)は、それぞれ、非碎波および碎波の資料についてである。

(a) をみると、0.024, 0.071, 0.098 および 0.464Hz が流れの主方向が E～NE であるのを除くと、ほぼ ESE の方向であることがわかる。(b) をみると、(a) に比較して流れの主方向の範囲は狭くなっていますのであり、各周波数成分ともほぼ ESE の方向へ流れていることがわかる。

図-4(a)～(c)は、方向スペクトルを示したもので、影を付けて大部分は河岸の方向、白抜きおよび黒く塗った矢印は、それぞれ、岸沖方向の水粒子速度および圧力変動のパワースペクトルのピーク周波数での方向分布関数の値が最大となる方向を示したものである。(a), (b) および(c)は、それぞれ、非碎波、碎波し始めおよび碎波中のものである。(a) の圧力変動および岸沖方向の水粒子速度のパワースペクトルのピーク周波数は、両者とも 0.203Hz である。

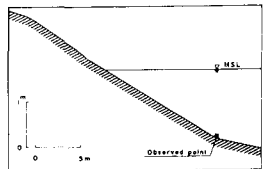


図-1 流速計設置点

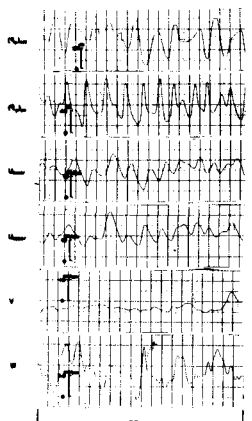
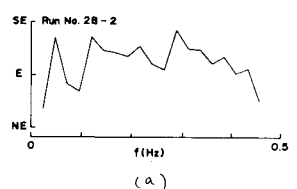
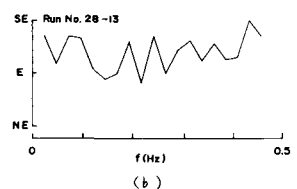


図-2 圧力および流速資料



(a)



(b)

図-3(a), (b) principal direction

圧力変動および岸冲方向の水粒子速度のピーク周波数がどの方向分布関数の値が最大となる方向は、それとし、 295° および 292.5° ではほぼ一致している。また、沖側では、 $0.171 \sim 0.220$ Hz の周波数帯で $250^\circ \sim 280^\circ$ の方向、岸側では、 $0.171 \sim 0.220$ Hz の周波数帯で $100^\circ \sim 135^\circ$ の方向にエネルギー密度の大きい領域が存在することから、WNW の方向から波が入射し、海岸で反射していることがわかる。

(b) の圧力変動および岸冲方向の水粒子速度のパワースペクトルのピーク周波数は、両者とも 0.164 Hz であり、(a) に比較するとビーグー周波数が低周波側へ移っていることがわかる。圧力変動および岸冲方向の水粒子速度のピーク周波数がどの方向分布関数の値が最大となる方向は、両者とも 292.5° である。方向スペクトルの分布は (a) とほぼ似ているが、岸側での点線の領域が僅かに広くなり、沖側では 0.171 Hz 付近の周波数帯で $270^\circ \sim 315^\circ$ の方向にエネルギー密度の大きい領域が生じている。

(c) の圧力変動および岸冲方向の水粒子速度のパワースペクトルのピーク周波数は、それとし、 0.173 Hz および 0.039 Hz であり、圧力変動のビーグー周波数は、(b) より僅かに高周波側へ移っているが、岸冲方向の水粒子速度のそれは、かなり低周波側へ移っている。圧力変動および岸冲方向の水粒子速度のピーク周波数がどの方向分布関数の値が最大となる方向は、それとし、 290° および 115° であり、 0.039 Hz 付近の周波数で $90^\circ \sim 120^\circ$ の方向にかけてエネルギー密度の大きい領域が生じている。このことから、碎波の発生頻度が高くなると、岸から沖へ向けての低い周波数の流れが卓越することがわかる。

図-5は、岸冲方向の水粒子速度のパワースペクトルがビーグーになる周波数がどの方向分布関数を示したもので、実線は非碎波、破線は碎波し始め、点線、二点鎖線および一点鎖線は碎波中のものである。非碎波から碎波に移るにつれて方向分布関数の絶対値は徐々に小さくなり、パワースペクトルのビーグー周波数も低周波側へ移り、一旦、方向分布関数の絶対値がほぼ等しくなり、流れの卓越方向が顕著でなくならず後、方向分布関数の絶対値も大きくなり、流れの卓越方向も顕著に定まることがわかる。

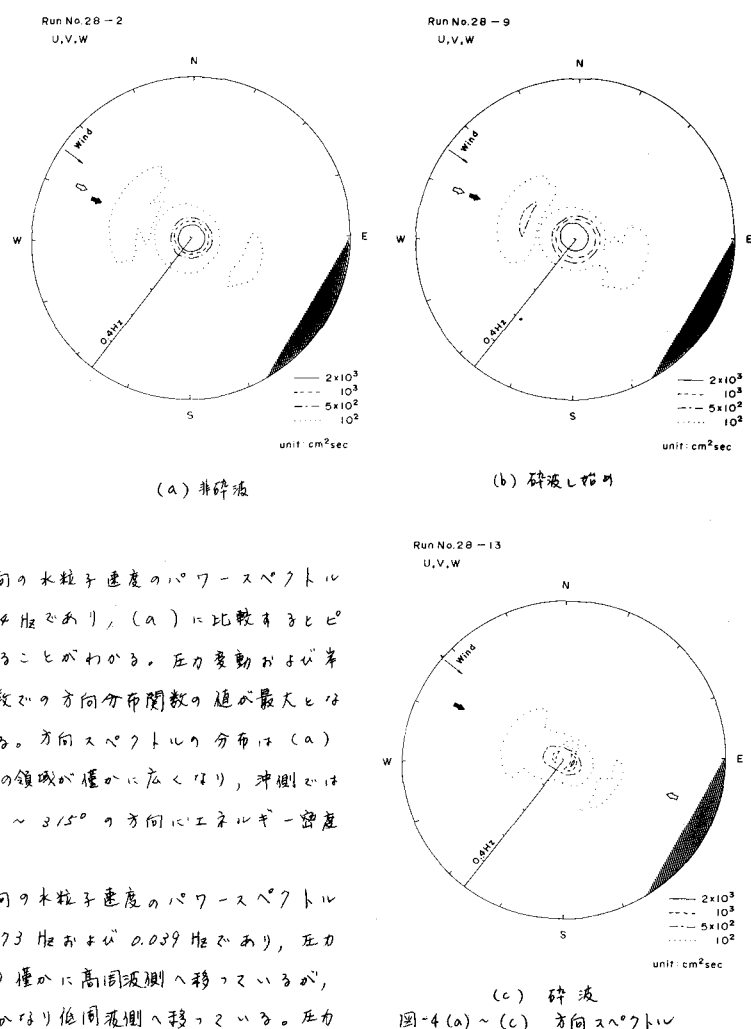


図-4(a)～(c) 方向スペクトル

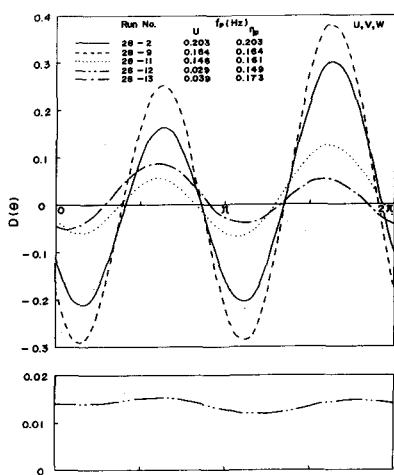


図-5 方向分布関数